

能動RC濾波器를 위한 有効利得增幅器의 周波數 特性 改善

(Improve of FGA Frequency Characteristics for Active RC Filters)

權甲鉉*, 崔興文**

(Kwon, Kap-Hyeon and Choi, Heung-Moon)

要 約

本論文에서는 4개의 演算增幅器와 低抗을 使用하여 非反轉 有効利得增幅器를 構成하고 이를 能動RC濾波器에 應用하였다. 演算增幅器 GB積의 영향이 3次까지 무시될 수 있도록 하여, 3개의 演算增幅器를 使用한 경우보다 使用周波數範圍를 擴張할 수 있었다. 또한 機制周波數 100kHz인 帶域通過濾波器에 應用한 경우 濾波器의 動作이 安定하고 利得特性은 理論值과 比較하여 ±誤差가 最大 2%이내 임을 實驗으로 確認하였다.

Abstract

In this paper an actively compensated finite gain amplifier (FGA) with positive gain using 4 operational amplifiers and resistors is proposed, and an application is considered in an active RC filter. By cancelling the effect of the GB's up to the third-order term of s on the transfer function, the proposed FGA has the extended frequency range over that of the FGA using 3 operational amplifiers.

When this FGA is applied to an active RC filter with pole frequency of 100 kHz, the magnitude error of the frequency characteristics of the filter is less than 2%.

1. 序 論

能動 RC 濾波器等에서 使用되는 有効利得增幅器 (finite gain amplifier ; FGA)는 一般的으로, 内部補償된 演算增幅器 (operational amplifier ; OA)를 써서 實現된다. 이 경우 演算增幅器의 有効利得 - 帶域幅積 (gain bandwidth product ; GB積)은 FGA의 周波數特

性에 영향을 주며, 따라서 이러한 FGA를 使用하여 實現된 發振器와 濾波器 等의 周波數特性에도 영향을 미치게 된다. 이러한 영향을 피하기 위하여 이를 濾波器와 發振器 等을 数KHz의 낮은 周波數範圍에서만 使用해 왔다.^[1-3] 演算增幅器의 使用周波數範圍를 확장시키기 为了한 방법으로는 受動補償方法^[4-7] 과 能動補償方法^[8-10] 이 있다. 受動補償方法은 受動素子를 使用하기 때문에 주위 온도와 전원 전압 그리고 연산 증폭기의 GB積 등이 변화하면 설계된 회로의 补償條件가 만족되지 않게 되고, 또한 受動素子인 콘덴서의 容量이 크기 때문에 FGA의 IC화도 곤란하다. 이에 比하여 能動補償方法에서는 演算增幅器를 利用하기 때

* 正會員,蔚山工科大學併設工業専門大學電子科
(Dept. of Elec., Ulsan Junior College of Tech.)

** 正會員,慶北大學校工科大學電子工學科

(Dept. of Electronics Kyungpook National Univ.)

接受日字：1982年 1月 7日

에 위와 같은 결점이補完될 수 있고, 특히 IC 제조기술의發達로 서로特性이 잘整合되고 低價格·低電力인 2雙 또는 4雙의演算增幅器를 단일 칩의 IC로求하기가 쉬우므로 이 방법이 많은 관심을 끌고 있다.⁸⁻¹⁰

現在까지 報告된能動補償FGA에서는 두 개 혹은 세 개의演算增幅器를 使用하여周波數에 따른FGA의位相差와 利得差을 줄였다. 특히 세 개의演算增幅器를 사용한 경우 演算增幅器 GB積의 1次와 2次의 영향을無視할 수 있어서使用周波數範圍를 数十KHz 이상 100KHz 정도까지 확장시킬 수 있었다.¹⁰

本研究에서는 네 개의 연산 증폭기와 저항만으로非反轉FGA를構成함으로써周波數範圍를 더욱 확장하고, 이를 2次帶域通過濾波器에應用하여濾波器의動作이安定하고 利得特性의 誤差가 작음을確認하였다.

II. 네개의 演算增幅器를 使用한 FGA

無補償非反轉FGA는 보통 그림1과 같이 구성된다. 内部補償된演算增幅器의 모델을單一極點 롤오프 특성에 따라 $A(s) = \frac{B}{s}$ 로 가정할 경우 이回路의傳達函數는 다음과 같다.

$$G(s) = \frac{1}{\alpha} \frac{1}{1 + \frac{s}{\alpha B}} \quad (1)$$

$$\mu_0 \in (s)$$

여기서 μ_0 는 FGA의 直流 利得, α 는 $1/\mu_0$ 로서 저항비, B 는 연산 증폭기의 GB積이고, $\epsilon(s)$ 는誤差函數로서理想的인 경우 크기는 1이고位相은零이다. 그러나 실제로는 $\epsilon(s)$ 가周波數의函數로서 그크기는 $1 - \frac{1}{2} (\frac{\omega}{\alpha B})^2$ 이고位相은 $-(\frac{\omega}{\alpha B})$ 이므로位相誤差가周波數에比例하기 때문에位相補償이必要함을 알수 있다. 지금까지 두개의연산증폭기를使用하여位

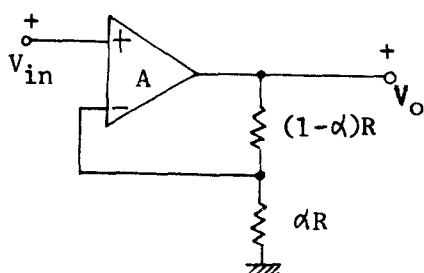


그림1. 無補償有利得增幅器

Fig. 1. Uncompensated finite gain amplifier.

相誤差를 줄인FGA가 많이發表되었으나 이경우의使用周波數範圍는數十KHz 정도였고 3개의연산증폭기를使用한FGA도發表된바 있으나 使用周波數範圍는100KHz 정도까지밖에 확장시킬 수 없었다.¹⁰

本論文에서는 4개의演算增幅器를使用하여非反轉FGA를그림2와같이구성하였다. 연산증폭기의모델을전술한바와같이 $A_i(s) = \frac{B_i}{s}$ ($i = 1, 2, 3, 4$)로가정하고回路의轉達函數를求하면 다음과같다.

$$G(s) = \frac{1}{\alpha} \frac{1 + \frac{s}{\beta B_2} (1 + \frac{a_2 \beta B_2}{a_1 \gamma B_4}) + \frac{s^2}{\beta \gamma B_1 B_3} (1 + \frac{a_1 B_2}{a_3 B_4})}{1 + \frac{s}{\alpha \beta} (1 + \frac{a_2 \alpha B_1}{a_3 \gamma B_4}) + \frac{s^2}{\alpha \beta B_1 B_2} (1 + \frac{a_1 \beta B_2}{a_3 \gamma B_4})} \\ + \frac{\frac{a_2 B_3}{a_3 B_4} + \beta \gamma B_1 B_3 B_4 (1 + \frac{a_1}{a_3} + \frac{a_2}{a_3} + \frac{a_4}{a_3})}{s^3} \\ - \frac{s^3}{\alpha \beta \gamma B_1 B_2 B_3 B_4 (1 + \frac{a_1}{a_3} + \frac{a_2}{a_3} + \frac{a_4}{a_3})} \quad (2)$$

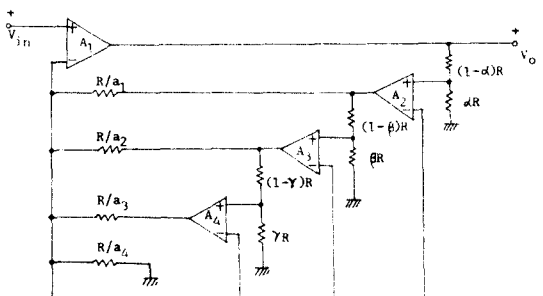


그림2. 4개의 演算增幅器를 사용한 FGA

Fig. 2. Finite gain amplifier with 4 OA'S.

提案된FGA의傳達極數가연산증폭기GB積의1次와2次의영향및3次의영향까지도받지않도록함으로써使用周波數範圍를확장할수있다. 따라서식(2)의分子와分母에서s의계수가3次까지서로같도록하면다음의條件를얻을수있다.(부록參)

$$\alpha B_1 = \beta B_2 = \gamma B_3 = \frac{B_4 (1 + \frac{a_1 B_2}{a_3 B_4} + \frac{a_2 B_3}{a_3 B_4})}{1 + \frac{a_1}{a_3} + \frac{a_2}{a_3} + \frac{a_4}{a_3}} \quad (3)$$

提案된FGA에서위의條件을만족시키기爲한調整節次는다음과같다. 먼저要求되는直流利得 μ_0 는 $\mu_0 = \frac{1}{\alpha}$ 로하고, 실제의演算增幅器GB積이모두동일하다고assumption하고 a_1/a_3 을주어진 μ_0 에따라 저항비만을조정하면된다. 식(3)의條件이만

즉되면 식(2)의 傳達函數는 다음과 같이 나타낼 수 있다.

$$G(s) = \mu_0 \frac{1 + E_1 s + E_2 s^2 + E_3 s^3}{1 + E_1 s + E_2 s^2 + E_3 s^3 + E_4 s^4} \quad (4)$$

여기서, $E_1 = 1 + \frac{a_1 B_1}{a_1 B_1}$, $E_2 = 1 + \frac{a_2 B_2}{a_2 B_2} + \frac{a_1 B_2}{a_2 B_1}$, $x = \frac{s}{\alpha B_1}$ 이다. 따라서 FGA의 조정 절차는 다음과 같이 要約 될 수 있다.

(1) $E_1 (\frac{\mu_0 \omega}{B_1})^4 \ll 1$ 인 주파수에서 α 를 조정하여 μ_0 를决定한다.

(2) $E_2 (\frac{\mu_0 \omega}{B_1})^2 \ll 1$ 인 주파수에서 β 를 조정하여 入出力 사이의 位相을 同相이 되게 한다.

(3) $E_2 (\frac{\mu_0 \omega}{B_1})^3 \ll 1$ 인 주파수에서 γ 를 조정하여 入出力 사이의 位相을 同相이 되게 한다.

(4) $E_2 (\frac{\mu_0 \omega}{B_1})^4 \ll 1$ 인 주파수에서 a_1/a_2 를 조정하여 入出力 사이의 位相을 同相이 되게 한다.

III. FGA의 주파수 특성 비교

提案된 FGA의 周波數 特性과 연산 증폭기 3개를 사용한 그림 3의 FGA의 주파수 특성을 비교하기 위하여 각각의 이득 오차와 위상 오차를 求하면 表1과 같다.

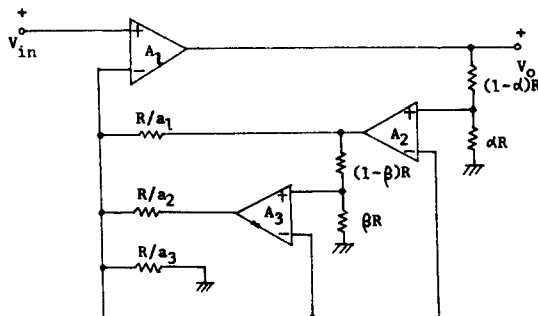


그림 3. 3 개의 演算增幅器를 利用한 FGA

Fig. 3. Finite gain amplifier with 3 OA's.

표 1에서 보는 바와 같이 4개의 연산 증폭기를 사용한 FGA의 경우 이득 오차 및 위상 오차가 각각 $\frac{\mu_0 \omega}{B_1} (< 1)$ 의 4次와 5次로서 다른 FGA의 경우보다 작은 값을 갖는다.

한편 FGA를 能動濾波器 等에 應用할 경우 실제의 增幅器가 理想的 特性을 갖지 못한데 따른 영향을 줄이기 為하여는 다음과 같이 定義되는 函數 $F(\omega)$ 가 最小로 되어야 한다.^[8]

표 1. FGA의 規準化利得誤差 및 位相誤差

Table 1. The normalized magnitude errors and phase errors of the FGA's.

n	Amp. conf	Mag. error ($\Delta \mu / \mu_0$)	Phase error ($\Delta \phi$)
3	Fig. 3	$E^2 (\frac{\mu_0 \omega}{B_1})^4$	$E (\frac{\mu_0 \omega}{B_1})^3$
4	Fig. 2	$-E_2 (\frac{\mu_0 \omega}{B_1})^4$	$E^1 E_2 (\frac{\mu_0 \omega}{B_1})^5$

n ; the number of the OA's

$$F(\omega) = [(\frac{\Delta \mu}{\mu_0})^2 + (\Delta \phi)^2]^{1/2} \quad (5)$$

여기서 $(\Delta \mu / \mu_0)$ 는 利得의 規準화 변화분이고 $(\Delta \phi)$ 는 位相 변화분이다. 또한 $F(\omega)$ 를 주어진 誤差의 限界 $1/\sigma$ (보통 $\sigma \ll 1$)로 制限하기 為한 最大周波數도 式(5)로부터 求할 수 있다. 실제로 각 FGA에서 $B=1$ MHz, $\mu_0=1.55$, $E=E_2=5$ 로 한 경우에 对하여 $\sigma=100$ (즉 $1/\sigma=1\%$)에 依해 制限되는 最大動作周波數를 求하면 表2와 같다.

표 2. FGA의 最大周波數限界

Table 2. The maximum limiting frequncy of the FGA's

n	Amp. conf.	F(ω)	ω_{max}	f _{max} (kHz)
3	Fig. 3	$E (\frac{\mu_0 \omega}{B_1})^3$	$\frac{B_1}{\mu_0 (\sigma E)^{1/3}}$	81.29
4	Fig. 2	$E_2 (\frac{\mu_0 \omega}{B_1})^4$	$\frac{B_1}{\mu_0 (\sigma E_2)^{1/4}}$	136.44

n ; the number of the OA's

표 2에서 보는 바와 같이 提案된 回路의 경우가 3개의 연산 증폭기를 使用한 경우 보다 1.7배 정도로 주파수 特성이 개선됨을 알 수 있다.

IV. 實驗結果 및 考察

直流 利得을 $\mu_0=1.55$ 로 하고 각 FGA를 μA 747 연산 증폭기를 사용하여 實現하였다. 사용된 연산 증폭기의 GB積은 약 1 MHz 이었고, 직류 공급 전원은 ±15V로 하였다. 抵抗은 모두 100k Ω 可變抵抗器를 사용하였다.

그림 4는 實現될 각 FGA회로의 利得 및 位相을 나타낸 것이다. 提案된 回路의 경우 회로가 안정한 범위내에서 주어진 誤差 限界 $1/\sigma (= 1\%)$ 에 의해 제한되는 최대주파수 범위가 약 200KHz 정도로서 3개의 연산 증폭기를 사용한 경우보다 주파수 특성이 개선되었음을 알 수 있다.

또한 주파수 100KHz에서 FGA의 최대허용 입력 전압을 측정한 결과, 출력의 歪曲을 1%이내로 제한했을 때 提案된 FGA의 경우는 최대 허용 입력 전압이 450mV(rms) 이었고, 이때 이득 오차는 $+1\%$ 였다. 3개의 연산 증폭기를 사용한 FGA의 경우는 각각 500mV(rms) 와 $+4\%$ 였다.

한편 提案된 FGA를 能動 RC 濾波器에 應用하여 그 特性을 考察하였다. 그림 5는 본 FGA를 이용한 2차帶域通過濾波器이다. 이 때에 사용된 部品들은 1% 허용 오차의 정밀급 가변저항과 mylar 커패시터를 사

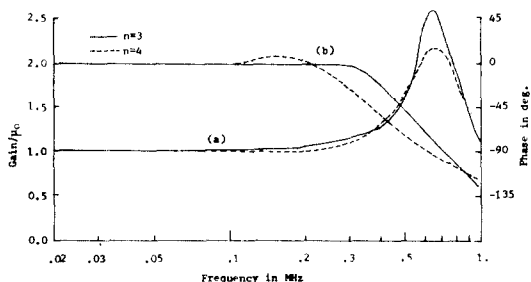


그림 4. FGA의 周波數特性 (a) 利得特性
(b) 位相特性

Fig. 4. Frequency characteristics of the FGA's,
where n is the number of OA's.
(a) Magnitude
(b) Phase

용하여 $R_1 = 15.9\text{K}\Omega$, $R_2 = 6.0\text{K}\Omega$, $R_3 = 57.9\text{K}\Omega$, $C_1 = C_2 = 100\text{ pF}$ 로 하였고 $f_o = 100\text{KHz}$, $Q = 10$ 으로 하였다. 實驗 結果 濾波器의 주파수 特性은 그림 6과 같았으며 이론치와 비교할 때 이득 오차는 최대 2%이내였다. 이는 FGA 特性 및 部品의 허용오차로 인한 것으로 생각된다.

또한 공급 전원 전압 변동에 따른 영향을 考察하기 위하여 정격 전원 전압 $\pm 15\text{V}$ 의 $\pm 20\%$ 즉 $\pm 12\text{V}$ 및 $\pm 18\text{V}$ 에서 각각 實驗한 결과, 정격 전원 전압을 인가했을 때와 비교하여 이득의 변화는 최대 5% 이내였다.

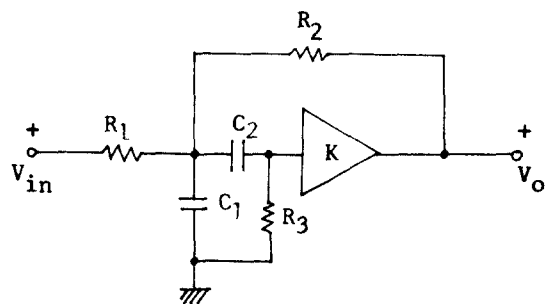


그림 5. Sallen과 Key의 帶域濾波器

Fig. 5. Sallen and Key bandpass filter.

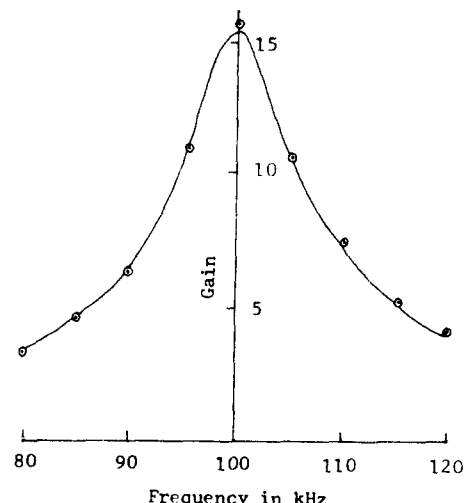


그림 6. 帶域濾波器의 利得特性

Fig. 6. Magnitude characteristics of the bandpass filter.

V. 結論

本研究에서는 能動補償方法을 사용하여 4개의 演算增幅器와 抵抗만으로 非反轉 有限利得增幅器를 構成하고 이를 能動濾波器에 應用하여 그 주파수 特性 개선을 시도하였다. FGA의 경우 연산증폭기 GB 積의 영향을 3次까지 무시할 수 있도록 하여 3개의 연산 증폭기를 사용한 경우보다 사용 주파수 범위를 더욱 확장할 수 있도록 하였다.

실험 결과 提案된 FGA는 利得誤差 1%에서 사용 주파수 범위를 200KHz까지 확장할 수 있었고 이를 대역 통과 여파기에 응용한 결과 각점 주파수 100KHz

의 높은 주파수 범위에서도 여파기는 최대 2%이내의 이득오차를 갖고 안정하게 동작하였다.

부 록

1. FGA의 이득오차 및 위상오차

본문의 식(4)에서 FGA의 오차함수 $\epsilon(s)$ 는

$$\epsilon(s) = \frac{1 + E_1 s + E_2 s^2 + E_2 s^3}{1 + E_1 s + E_2 s^2 + E_2 s^3 + E_2 s^4} \quad (*)$$

기 $|\epsilon(Cj\omega)|$ 를 구하면 다음과 같다.

$$\text{즉}, |\epsilon(Cj\omega)| = \left[\frac{(1 - E_2 y^2)^2 + (E_1 y - E_2 y^3)^2}{(1 - E_2 y^2 + E_2 y^4)^2 + (E_1 y - E_2 y^3)^2} \right]^{1/2}$$

여기서 $y = \mu_0 \omega / \beta_1$ 이다.

윗 식에 二項定理를 적용하고 $(\frac{\mu_0 \omega}{\beta_1})^6 \ll (\frac{\mu_0 \omega}{\beta_1})^4$ 인 관계를 이용하면 다음과 같이 근사화 시킬 수 있다. 즉,

$$|\epsilon(Cj\omega)| \cong 1 - E_2 y^4$$

$$\cong 1 - E_2 \left(\frac{\mu_0 \omega}{\beta_1}\right)^4$$

따라서 이득오차 $\frac{\Delta \mu}{\mu_0}$

$$\frac{\Delta \mu}{\mu_0} = |\epsilon(j\omega)| - 1 \cong -E_2 \left(\frac{\mu_0 \omega}{\beta_1}\right)^4$$

이 된다.

또한 $\epsilon(j\omega)$ 의 위상을 구하면 다음과 같다. 즉,

$$\arg(\epsilon(j\omega)) = \tan^{-1} \frac{E_1 y - E_2 y^3}{1 - E_2 y^2} - \tan^{-1} \frac{E_1 y - E_2 y^3}{1 - E_2 y^2 + E_2 y^4}$$

이 식에 역시 二項定理를 적용하고 $(\frac{\mu_0 \omega}{\beta_1})^6 \ll (\frac{\mu_0 \omega}{\beta_1})^4$ 인 관계를 이용하면 $\epsilon(j\omega)$ 의 위상은 다음과 같이 된다.

$$\arg(\epsilon(j\omega)) \cong E_1 E_2 y^5 = E_1 E_2 \left(\frac{\mu_0 \omega}{\beta_1}\right)^5$$

따라서 위상오차 $\Delta \phi$ 는,

$$\Delta \phi = E_1 E_2 \left(\frac{\mu_0 \omega}{\beta_1}\right)^5$$

이다.

2. $F(\omega)$ 및 ω_{max}

앞에서 계산한 오차의 값을 본문의 식(5)에 대입하면,

$$F(\omega) = [-E_2 \left(\frac{\mu_0 \omega}{\beta_1}\right)^4]^2 + [E_1 E_2 \left(\frac{\mu_0 \omega}{\beta_1}\right)^5]^2]^{1/2}$$

이 되고, 여기에 $(\frac{\mu_0 \omega}{\beta_1})^{10} \ll (\frac{\mu_0 \omega}{\beta_1})^8$ 인 관계를 적용하면,

$$F(\omega) \cong E_2 \left(\frac{\mu_0 \omega}{\beta_1}\right)^4$$

이 된다.

$F(\omega)$ 를 $1/\sigma$ 와 같도록 놓고, 이 때의 주파수를 ω_{max} 라 하면,

$$E_2 \left(\frac{\mu_0 \omega_{max}}{\beta_1}\right)^4 = \frac{1}{\sigma}$$

이 되어

$$\omega_{max} = \frac{1}{\mu_0 (\sigma E_2)^{1/4}}$$

이 된다.

参考文献

1. A. Budak and D. M. Petrela, "Frequency limitations of active filters using operational amplifiers," IEEE Trans. Circuit Theory, vol. CT-19, pp. 322-328, July 1972.
2. L. T. Bruton and A. I. A. Salama, "Frequency limitations of coupled-biquadratic active ladder structures," IEEE Trans. J. Solid-State Circuits, vol. SC-9, pp. 70-72, Apr. 1974.
3. L. P. Huelsman and P. E. Allen, Introduction to the Theory and Design of Active Filters. New York: McGraw-Hill, 1976, pp. 185-191.
4. G. Wilson, "Compensation of some OA based RC active networks," IEEE Trans. Circuits and Systems, vol. CAS-23, pp. 443-446, July 1976.
5. A. M. Soliman and M. Ismail, "Passive compensation of op-amp VCVS and weighted summer building blocks," IEEE Trans. Circuits and Systems, vol. CAS-26, pp. 898-900, Oct. 1979.
6. P. O. Brackett and A. S. Sedra, "Active compensation for high-frequency effects in op-amp circuits with applications to active RC filters," IEEE Trans. Circuits and Systems, vol. CAS-23, pp. 68-72, Feb. 1976.
7. M. A. Reddy, "OA circuits with variable phase shift and their application to high-Q active RC filters and oscillators," IEEE Trans. Circuits and Systems, vol. CAS-23, pp. 384-389, June 1976.

8. S. Natarajan and B. B. Bhattacharyya, "Design and some applications of extended bandwidth finite gain amplifiers," *J. Franklin Inst.*, vol. 305, no. 6, pp. 321-341, June 1978.
9. A. M. Soliman and M. Ismail, "Active compensation of operational amplifiers," *IEEE Trans. Circuits and Systems*, vol. CAS-26, pp. 112-117, Feb. 1979.
10. S. Natarajan and B. B. Bhattacharyya, "Design of actively compensated finite gain amplifiers for high-frequency applications," *IEEE Trans. Circuits and Systems*, vol. CAS-27, pp. 1133-1139, Dec. 1980.
11. R. P. Sallen and E. L. Key, "A practical method of designing RC active filters," *IEEE Trans. Circuit Theory*, vol. CT-2, pp. 74-85, Mar. 1955.

